

## مدل‌سازی پیشرو داده‌های مقاومت‌سنگی مغناطیسی میدان کل (TFMMR) به روش اجزای محدود برای ساختارهای دو بعدی

اکبر لوفان<sup>\*</sup> و نادر فتحیان‌پور<sup>\*</sup>

<sup>\*</sup> دانشکده مهندسی معدن، دانشگاه صنعتی اصفهان، مسدود بسته ۱۴۱۵۶

پذیرش مقاله: ۱۰/۹/۲۵ دریافت مقاله: ۸/۶/۲۵

### چکیده

مقاومت‌سنگی مغناطیسی میدان کل (TFMMR) یکی از پارامترهای صحرایی روش مغناطیسی در بهنه زیرسامد شنوازی (Sub-Audio Magetics SAM) استخراج می‌شود. در حالت کلی SAM فنی با قدرت تفکیک بالا است که اطلاعات خواص الکتروکی و مغناطیسی محیط‌های زیر سطحی را از راه اندازه‌گیری میدان مغناطیسی کل، شامل میدان مغناطیسی القایی ناشی از عبور جریان گالوانی با بسامد کمتر از ۲۰۰ هرتز درون زمین را تعیین می‌کند.

پاسخ‌های آنومالی (بینهنجاری) توده‌های با اشکال هندسی ساده در مقاله دیگری توسط یکی از نگارندگان این مقاله به تفصیل ارائه شده است اما همان‌طور که در آن مقاله اشاره رفته است، مدل‌های ساده تها ایده‌آلی هستند که معمولاً در طبیعت کمتر یافته می‌شوند و در عمل مجبور به یافتن پاسخ آنومالی‌های اشکال پیچیده با اشکال نامنظم هستیم که در این خصوص چاره‌ای جز استفاده از روش‌های عددی<sup>۱</sup> نداریم، در این مقاله، در ابتدا مبانی نظری پارامتر TFMMR و معادلات حاکم بر رفتار میدان‌های الکتروکی و مغناطیسی اندازه‌گیری شده در این روش برای مدل‌های دو بعدی در حوزه مکانی و عدد موج به اختصار ارائه شده‌اند. سپس ضمن انتخاب روش عددی مناسب برای مدل‌سازی پیشرو برای پارامتر TFMMR در مورد توده‌های دو بعدی با منبع میدان سه‌بعدی (الکترودهای جریان نقطه‌ای)، مسائل و مشکلاتی که در ارتباط با (۱) مسئله تکین بودن جمله مربوط به منبع جریان (الکترود جریان) در معادلات با مشتقان جزئی حاکم بر میدان، (۲) نقطه تکین تبدیل ممکوس فوریه و (۳) محاسبات عددی مؤلفه‌های میدان مغناطیسی، مورد بحث قرار گرفته و راه حل‌هایی برای آنها ارائه شده است. در خاتمه با ذکر چند مثال، دقت و اعتبار نتایج عددی نیز از راه مقایسه با روابط تحلیلی مورد ارزیابی قرار گرفته است.

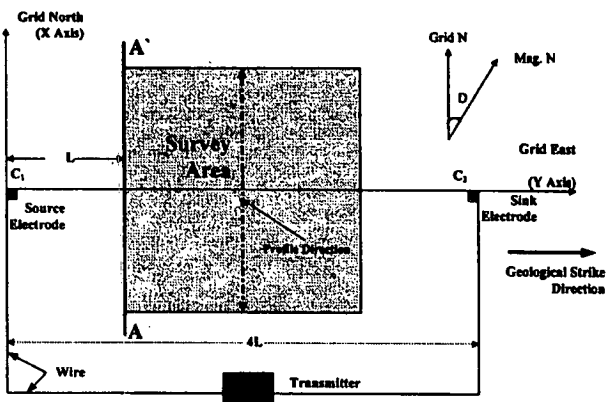
**کلیدواژه‌ها:** مقاومت‌سنگی مغناطیسی میدان کل TFMMR، زیرسامد شنوازی SAM، جریان گالوانی، ژئومغناطیسی، قدرت تفکیک، نقطه تکین

### ۱ مقدمه

مقاومت‌سنگی مغناطیسی (MMR) توسط ادواردز در سال ۱۹۷۴<sup>۲</sup> پایه‌های فیزیکی و ریاضی این روش مورد مطالعه قرار گرفت که نتایج آنها در مقالات متعددی تشریح شده‌اند (ادواردز و همکاران، ۱۹۷۸؛ نیسیان و همکاران، ۱۹۸۴). به دنبال معرفی روش MMR پارامتر مقاومت‌سنگی مغناطیسی میدان کل (TFMMR) پارامتری با قدرت تفکیک زیاد است، برای اولین بار توسط کتچ و همکاران (۱۹۹۴)<sup>۳</sup> معرفی شد. لذا به دلیل جدید و ناشناخته بودن پارامتر TFMMR در ایران، در این مقاله نکات مهم در محاسبه پاسخ‌های عددی به روش اجزای محدود در مدل‌سازی پیشرو به همراه نتایج مدل‌سازی عددی داده‌های مقاومت‌سنگی

امروزه به خوبی معلوم شده است که میدان مغناطیسی کل اندازه‌گیری شده در سطح زمین، دارای چشم‌های متفاوتی است. به طور کلی هر نوع توزیع جریان یا حرکت بار الکتروکی می‌تواند در میدان کل اندازه‌گیری شده سهم داشته باشد. مبانی میدان‌های مغناطیسی و الکتروکی ناشی از جریان پایدار الکتروکی در محیط‌های با هدایت ویژه معین در منابع متفاوتی مطرح و معادلات حاکم بر آنها تشریح شده است (جنگ، ۱۹۸۹). به استثنای زادانوف و کلر (۱۹۹۴)<sup>۴</sup> در اکثر مقالات چاپ شده ژئوفیزیکی، رفتار میدان مغناطیسی ناشی از جریان الکتروکی پایدار به طور کافی مورد تجزیه و تحلیل قرار نگرفته‌اند. پس از معرفی روش

متداول IP و مقاومت سنجی) و همچنین گیرنده‌ای با نام مگنتومتر TM-4 (با دریابه‌های از نوع پمپ نوری) است که بتواند با سرعت بالایی میدان مغناطیسی را اندازه‌گیری کند. مگنتومتر TM-4 سامانه بسیار پیشرفته جمع‌آوری داده‌های مغناطیسی بر اساس میکروپرسور است که می‌توان با آن، حداقل ۴۰۰ نمونه در ثانیه از میدان مغناطیسی نمونه‌گیری کرد (کنج و همکاران، ۱۹۹۴).



شکل ۱. ترکیب آرایش مستطیلی به کار گرفته شده در برداشت‌های TFMMR.

**۳ مبانی نظری میدان‌های مگنتواستاتیک (مغناطوسناتیک)** به روش‌های مختلفی می‌توان میدان‌های مغناطیسی ناشی از جریان مستقیم (DC) یا بسامد بسیار کم را در محیط‌هایی با هدایت ویژه معین مورد بررسی قرار داد. در روش‌های سنتی بررسی میدان‌های مگنتواستاتیکی با استفاده از مدل‌های تک‌قطبی مغناطیسی صورت می‌گرفت. اما روش واقعی‌تر دیگری که می‌توان برای حل مسائل مگنتواستاتیکی به کار گرفت، استفاده از فرمول‌بندی مسئله مقدار مرزی بر اساس رفتار جریان الکتریکی در محدوده تعريف شده است. از آنجایی که در متن‌های ژئوفیزیکی، از فرمول‌بندی نوع دوم نظریه الکترومغناطیسی استفاده می‌شود، بنابراین در اینجا نیز می‌توان با معادلات ماکسول شروع و با تلفیق نتایج با قانون بیوساوار و به کار گیری شرایط مرزی برای سامانه‌های مگنتواستاتیکی که شامل پیوستگی مؤلفه مماسی میدان مغناطیسی در فصل مشترک دو محیط و پیوستگی مؤلفه قائم چگالی جریان

مغناطیسی میدان کل (TFMMR) ارائه می‌شود.

**۲ آشنایی مختصری با پارامتر TFMMR** مفاهیم ریاضی و فیزیکی پارامتر اندازه‌گیری شده مقاومت سنجی مغناطیسی میدان کل (TFMMR) توسط کنج و همکاران (۱۹۹۴) و متعاقب آن فتحیان پور و کنج (۱۹۹۵) ارائه شده است. بطور کلی پارامتر TFMMR روشی برای نموداری کردن همزمان مشخصه‌های الکتریکی (هدایت ویژه) و مغناطیسی (خودپذیری مغناطیسی) از راه اندازه‌گیری میدان مغناطیسی کل است. پارامتر TFMMR یکی از پارامترهایی است که در آن تغییرات میدان کل مغناطیسی زمین در زیر حد بسامد شنایی (بین ۵ تا ۲۰ هرتز) با یک مگنتومتر پمپ نوری روی بروفیل‌ها برداشت می‌شوند. تجزیه و تحلیل طبقی میدان مغناطیسی اندازه‌گیری شده ما را قادر به استخراج پارامترهای مورد نیاز، شامل پارامترهای با قدرت، تفکیک زیاد، مقاومت سنجی مغناطیسی میدان کل، پلاریزاسیون القایی مغناطیسی میدان کل، TFMMIP، القای الکترومغناطیسی میدان کل TFEM و میدان ژئومغناطیسی زمین اگالوانیک معمولاً امریعی شکل و میدان کل ژئومغناطیسی زمین از راه به کار گیری فیلترهای دیجیتال می‌کند (فتحیان پور و کنج، ۱۹۹۵).

در حالت کلی تمامی آرایه‌های به کار گرفته شده در روش‌های مقاومت سنجی و MMR را می‌توان در فن TFMMR به کار گرفت. اما ادر حال حاضر یکی از مؤثرترین آرایه‌هایی که بیشتر مورد استفاده قرار می‌گیرد، آرایه گرادیانی (مستطیلی) یا نعل اسی است. علت راندمان بالای آرایه گرادیانی بیشتر به قدرت بالای نسبت سیگنال به نویه و همچنین ثابت نگاهداشتن سیم‌ها و الکترودهای جریان در جمع‌آوری تعداد بسیار زیاد داده‌ها است (شکل ۱). دستگاه‌های مورد استفاده برای اندازه‌گیری‌های TFMMR، مشابه روش‌های MMR و MIP است که بیشتر شامل یک فرستنده جریان قطع و وصلی (فرستنده‌های

ماکسول در رژیم پایدار و استفاده از قانون پایستگی جریان الکتریکی به راحتی معادله حاکم بر رفتار تابع پتانسیل الکتریکی ناشی از الکترودهای جریان نقطه‌ای (سبعدی) را می‌توان برای توده‌های دو بعدی به صورت زیر بدست آورد (دی و موریسون، ۱۹۷۹).

$$\nabla \{ \sigma(x, z) U(x, y, z) \} + \sigma(x, z) \nabla^2 U(x, y, z) - U(x, y, z) \nabla^2 \sigma(x, z) = -2I\delta(r - r_s) \quad (5)$$

برای حذف اثر بعد امتدادی (در اینجا محور  $y$ ) می‌توان از یک تبدیل فوریه یک بعدی که به صورت زیر تعریف می‌شود، استفاده نمود.

$$\bar{U}(x, k_y, z) = \int_{-\infty}^{+\infty} U(\hat{x}, y, z) e^{-ik_y y} dy \quad (6)$$

$$U(x, y, z) = \frac{1}{2\pi} \int_{-\infty}^{+\infty} \bar{U}(x, k_y, z) e^{ik_y y} dy \quad (7)$$

با استفاده از خاصیت تبدیل فوریه مشتق تابع (بریسول، ۱۹۸۶) به نتیجه نهایی زیر که یک معادله هلmholtz دو بعدی در حوزه عددی موج است، می‌رسیم.

$$\frac{\partial}{\partial x} \left( \sigma \frac{\partial \bar{U}}{\partial x} \right) + \frac{\partial}{\partial z} \left( \sigma \frac{\partial \bar{U}}{\partial z} \right) - \frac{K_y^2}{P} \bar{U} = -I\delta(r - r_s) \quad (8)$$

لذا برای بدست آوردن مقادیر تابع پتانسیل الکتریکی در حوزه مکانی، لازم است معادله فوق را برای چندین مقدار  $K_y$  (معادل عدد موج فاصله در امتداد  $y$ ) حل کنیم و سپس با استفاده از یک تبدیل فوریه معکوس، مقدار پتانسیل را محاسبه نماییم. بدینه است که انتخاب تعداد بهینه  $K_y$  برای دستیابی به دقت زیاد نقش مهمی در توسعه روش‌های عددی حل معادله ۸ خواهد داشت.

#### ۵ فرمول‌بندی میدان مغناطیسی در حوزه عدد موج

به منظور محاسبات دقیق و مؤثر میدان مغناطیسی ناشی از مدل‌های دو بعدی، بهتر است محاسبات در حوزه عدد موج انجام شود. در این صورت برای مؤلفه میدان مغناطیسی ( $B_x, B_y, B_z$ ) کافی است تبدیل فوریه معادلات ۲ تا ۴ را نسبت به بعد  $y$  محاسبه

الکتریکی در مرز دو محیط است استفاده نمود. شکل مطلوب دیگری که برای محاسبه پاسخ پارامتر TFMRR می‌توان مورد استفاده قرار داد (فرمول اصلاح شده بیوساوار) که به صورت زیر است (ادواردز و همکاران، ۱۹۷۸).

$$B(r) = \frac{\mu_0}{4\pi} \int_V \frac{\nabla' U(r') \times \nabla' \sigma(r')}{|r - r'|} dv' \quad (1)$$

از معادله ۱ مشخص می‌شود که انتگرال حجمی فوق را بایستی تنها روی سطوح ناپیوستگی‌ها که گرادیان هدایت ویژه ( $\nabla' \sigma(r')$ ) غیر صفر است، ارزیابی کرد. در محاسبه پاسخ TFMRR برای هر ساختمان زمین‌شناسی دو بعدی، تمام مؤلفه‌های میدان مغناطیسی لازم است که در دستگاه مختصات کارتزین می‌توان آنها را از راه بسط معادله تعمیم یافته بیوساوار به صورت زیر محاسبه نمود.

$$B_x(r) = \frac{\mu_0}{4\pi} \int_V \frac{\left( \frac{\partial \sigma(x', z')}{\partial z'} \frac{\partial U(r')}{\partial y'} \right) dv'}{|r - r'|} \quad (2)$$

$$B_y(r) = \frac{\mu_0}{4\pi} \int_V \frac{\left( \frac{\partial \sigma(x', z')}{\partial z'} \frac{\partial U(r')}{\partial z'} - \frac{\partial \sigma(x', z')}{\partial z'} \frac{\partial U(r')}{\partial x'} \right) dv'}{|r - r'|} \quad (3)$$

$$B_z(r) = -\frac{\mu_0}{4\pi} \int_V \frac{\left( \frac{\partial \sigma(x', z')}{\partial x'} \frac{\partial U(r')}{\partial y'} \right) dv'}{|r - r'|} \quad (4)$$

همان‌طور که در معادلات ۲ تا ۴ ملاحظه می‌شود، برای محاسبه میدان مغناطیسی ناشی از عبور جریان در ساختمان‌های زیر سطحی باید توزیع پتانسیل الکتریکی در کل نیم‌فضای زیر سطحی در دست باشد که بدین منظور در بخش بعدی روابط اساسی مورد نیاز برای حل عددی تابع پتانسیل الکتریکی ناشی از الکترودهای جریان نقطه‌ای ارائه می‌شود.

#### ۴ پتانسیل الکتریکی در حوزه‌های مکانی و عدد موج

موضوع توزیع پتانسیل در محیط‌هایی با هدایت ویژه معین ناشی از عبور جریان پایدار (DC) را افراد زیادی مورد بررسی قرار داده‌اند (دی و موریسون، ۱۹۷۹؛ اسایدر، ۱۹۷۶)، با به کارگیری معادلات

دور از ناهمگنی‌ها است که می‌توان با استفاده از ترکیب شرایط مرزی برای زمینه همگن به این مهم دست یافت.

### ۷ انتخاب مجموعه اعداد موج مورد نیاز

مسئله مهمی که در مدل‌سازی  $2/5$  بعدی (منظور پاسخ مدل زمین دو بعدی به منبع میدان سه بعدی یعنی الکترود نقطه‌ای جریان است) مطرح می‌شود، انتخاب تعداد و مقادیر عدد موج برای بازیابی طیف تابع پتانسیل تبدیل یافته لازم است. چون بخش عمده‌ای از زمان محاسبات در الگوریتم عددی به حل دستگاه معادلات ماتریس کل المان‌ها اختصاص می‌یابد، اهمیت انتخاب تعداد عدد موج و مقدار  $K_y$ ‌ها بیشتر نمایان می‌شود. از آنجایی که پاسخ تحلیلی پتانسیل تبدیل یافته روی یک نیم‌فضای همگن دقیقاً به شکل یک تابع اصلاح یافته بدل از درجه صفر ( $K_0$ ) است، بنابراین می‌توان موقعیت نقاط نمونه‌گیری روی محور  $y$  را طوری انتخاب کرد که تابع  $(rK_y)$  به خوبی بازیابی شود. برخلاف روش‌های مقاومت‌سنگی DC که در آن همیشه موقعیت الکترودهای پتانسیل از الکترودهای جریان فاصله دارند، در اندازه‌گیری‌های TFMRR لازم است تا مقدار آنومالی را در نزدیکی محل الکترود نیز بدست آوریم. این بدان معنی است که طیف مؤلفه‌های میدان مغناطیسی آنومالی دارای دامنه وسیعی از فواصل بین نقاط اندازه‌گیری و الکترود جریان‌اند که می‌توان آنرا به خوبی در رفتار تابع اصلاح شده بدل ( $K_0$ ) مشاهده کرد، به طوری که رفتار مجانب‌وار تابع فوق در حالت حدی فواصل کوچک و فواصل بزرگ به شرح زیر است (براموبتس و استگان، ۱۹۷۲).

$$K_0(k_y|x|) \rightarrow -\ln(K_y|x|) \quad (12)$$

$$k_y|x| \rightarrow 0 \quad \text{آنگاه}$$

$$K_0(k_y|x|) \rightarrow \left[ \frac{\pi}{2K_y|x|} \right]^{1/2} e^{-K_y|x|} \quad (13)$$

$$k_y|x| \rightarrow \infty \quad \text{آنگاه}$$

کیم. آنگاه با استفاده از قضیه کانولوشن (بریسول، ۱۹۸۶) و رابطه تبدیل فوریه تابع  $\frac{1}{z}$  که به توابع بدل از نوع دوم ( $K_0$ ) ختم می‌شود، می‌توان به نتایج زیر برای هر سه مؤلفه میدان مغناطیسی در حوزه عدد موج رسید (فتحیان پور، ۱۹۹۷).

$$\bar{B}_x(x, k_y, z) = \frac{-\mu_0}{2\pi} \int_0^{\infty} \int_{-\infty}^{\infty} K_y \frac{\partial \sigma(x', z')}{\partial z'} \bar{U}(x', k_y, z') K_0(k_y r') dx' dz' \quad (9)$$

$$\bar{B}_y(x, k_y, z) = \frac{-\mu_0}{2\pi} \int_0^{\infty} \int_{-\infty}^{\infty} \left[ \frac{\partial \sigma(x', z')}{\partial z'} \frac{\partial \bar{U}(x', k_y, z')}{\partial x'} - \frac{\partial \sigma(x', z')}{\partial x'} \frac{\partial \bar{U}(x', k_y, z')}{\partial z'} \right] K_0(k_y r') dx' dz' \quad (10)$$

$$\bar{B}_z(x, k_y, z) = \frac{\mu_0}{2\pi} \int_0^{\infty} \int_{-\infty}^{\infty} K_y \frac{\partial \sigma(x', z')}{\partial x'} \bar{U}(x', k_y, z') K_0(k_y r') dx' dz' \quad (11)$$

بنابراین با داشتن این معادلات برای محاسبه میدان‌های مغناطیسی و همچنین انتشار پتانسیل الکتریکی در حوزه عدد موج می‌توان طیف مؤلفه‌های متفاوت میدان مغناطیسی را به تعدادی محدود از مقادیر  $K_y$  محاسبه و سپس با یک تبدیل فوریه معکوس عددی مؤلفه‌های میدان زا در حوزه مکانی به دست آورد.

### ۸ شرایط مرزی

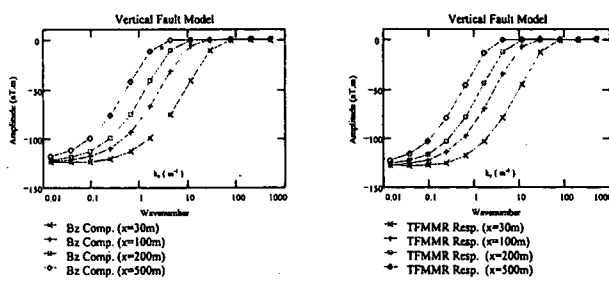
در مدل‌سازی داده‌های TFMRR بایستی سه شرط مرزی زیر را اعمال نمود

۱- پتانسیل تبدیل یافته  $\bar{U}$  بایستی در عرض مرز جداگانه‌های المان‌های با مقاومت ویژه متفاوت پیوسته باشد یعنی  $\bar{U}_1 = \bar{U}_2$  و در نهایت  $\bar{U} = 0$  برای  $X = \pm\infty$  و  $Z = \pm\infty$ .

۲- مؤلفه چگالی جریان عمود بر سطح مشترک دو محیط باید پیوسته باشد ( $j_{n_1} = j_{n_2}$ ) و به دلیل آنکه هوا کاملاً عایق است،

شرط مرزی نیومن به صورت  $0 = \frac{\partial \bar{U}}{\partial z}$  در سطح زمین ( $z = 0$ ) اعمال می‌شود.

نکته قابل توجه بهینه‌سازی ابعاد شبکه اجزای محدود در نقاط



شکل ۲. طیف پارامتر TFMMR ناشی از یک گسل قائم در نقاطی در طول محور X.

شکل ۲ نشان‌دهنده طیف پارامتر TFMMR در نقاطی در طول محور X ناشی از یک مدل گسل قائم است.

#### ۸ محاسبه مؤلفه‌های میدان مغناطیسی

در ارزیابی مؤلفه‌های میدان مغناطیسی در حوزه عدد موج، ابتدا پتانسیل الکتریکی تبدیل یافته در حوزه عدد موج برازی هر قطعه مرزی بین محیط‌های با هدایت ویژه الکتریکی متفاوت از راه مقادیر آن در گوشش‌های المان‌ها به طور خطی تخمین زده می‌شود. یک چنین درون‌بایی خطی باعث کاهش دقت در محاسبات میدان مغناطیسی می‌شود چرا که در روش اجزای محدود به کار گرفته شده، توزیع پتانسیل روی هر المان به طور خطی تغییر می‌کند. بنابراین مؤلفه‌های میدان مغناطیسی در حوزه عدد موج با دقیقی برابر با پتانسیل‌های الکتریکی تبدیل یافته محاسبه می‌شوند. برای محاسبه مؤلفه‌های میدان مغناطیسی می‌توان از راه گستن انتگرال‌های معادلات ۲ تا ۴ و جمع کردن، اثر هر کدام از المان‌های با هدایت ویژه متفاوت را به دست آورد. عبارات معادل به صورت زیر به دست می‌آیند.

$$\bar{B}_x(x, k_y, z) = -\frac{\mu_0}{2\pi} k_y$$

$$\sum_{i=1}^N \left[ (\sigma_{i2} - \sigma_{i1}) n_z \frac{\bar{u}_{il} + \bar{u}_{i2}}{2} \int_{kil, zil}^{xi2, zi2} K_0(k_y r') dl' \right] \quad (16)$$

$$\bar{B}_z(x, k_y, z) = -\frac{\mu_0}{2\pi} \sum_{i=1}^n \left[ \left( (\sigma_{i2} - \sigma_{i1}) n_z \frac{\bar{u}_{il} - \bar{u}_{i2}}{\Delta l} n_x + \right. \right.$$

بنابراین پتانسیل کل یک تکینگی لگاریتمی در نزدیکی مبدأ و یک افت نمایی را در مقادیر بزرگ عدد موج نشان می‌دهد. لذا در اندازه‌گیری‌های TFMMR که در آنها پروفیل‌های اندازه‌گیری میدان مغناطیسی خارج از سطح مقطع شبکه‌بندی شده اجزای محدود است ( $y \neq 0$ ) آنگاه بر اساس تئوری نمونه‌برداری مقدار مینیمم عدد موج باید طوری انتخاب شود که

- ۱- بتواند طیف نقاطی را که در طول سطح مقطع اند بازیابی کند و
- ۲- طول موج‌هایی را هم که مساوی یا بزرگ‌تر از دورترین پروفیل ( $y_{max}$ ) هستند، به خوبی نمونه‌برداری کند. بنابراین از نظر نظری مقدار مینیمم  $K_y$  بایستی از نامساوی‌های زیر پی‌روی کند.

$$K_{y_{min}} \leq \frac{\pi}{y_{max}}, \quad K_{y_{min}} \leq \frac{\pi}{r_{max}} \quad (14)$$

که در آن  $r_{max}$  دورترین نقطه در سطح مقطع است. در عمل مشاهده شد که با انتخاب  $K_{y_{min}} \leq \frac{\pi}{10y_{max}}$  می‌توان به خوبی طیف طول موج‌های بزرگ موجود در میدان اندازه‌گیری شده را بازیابی نمود. در الگوریتم به کار گرفته شده به منظور تعیین بزرگ‌ترین عدد موج موجود در طیف پتانسیل تبدیل شده، کوچک‌ترین بعد موجود در مسئله که غالباً نزدیک‌ترین نقطه اندازه‌گیری میدان به محل الکترود جریان ( $r_{min}$ ) است، بر طبق تعریف عدد موج "نایکیست" تعیین شده است. به طوری که مقدار تابع تبدیل یافته برای مقدار "نایکیست" قابل صرف‌نظر کردن باشد. لذا معیار زیر برای تعیین عدد موج "نایکیست" به کار گرفته شد.

$$K_0(k_y Nyquist r_{min}) \leq 0.001 \Rightarrow k_y Nyquist r_{min} \leq 7 \Rightarrow \\ k_y Nyquist = \frac{7}{r_{min}} \quad (15)$$

و در نهایت با داشتن مقادیر کمینه و بیشینه عدد موج  $k_y Nyquist$  و  $k_y min$  یک مجموعه ۱۰ عددی که به طور لگاریتمی توزیع شده‌اند، ایجاد می‌شود و برای محاسبه هر سه مؤلفه میدان مغناطیسی به کار می‌رود.

محدود انتخاب شده است.

#### ۱۰ مدل‌سازی مستقیم داده‌های TFMRR با استفاده از روش اجزای محدود

الگوریتم عددی به کار گرفته شده، شامل تخمین اجزای محدود پتانسیل الکتریکی روی تمامی نیم فضای زمین، برای تعداد معینی از اعداد موج است. سپس از طریق انتگرال گیری عددی خطی، مقادیر میدان مغناطیسی تبدیل یافته محاسبه می‌شود و در نهایت نتایج در حوزه مکانی را می‌توان از راه تبدیل فوریه معکوس عددی روی داده‌های تبدیل یافته میدان به دست آورد. توالی جریان عملیات، در الگوریتم به کار گرفته شده به روش اجزای محدود در شکل ۳ آمده است.

#### ۱۱ مبانی روش اجزای محدود

مانی به کار گیری روش اجزاء محدود در حل مسائل فیزیکی به خصوص ژئوفیزیکی، در کتاب‌های بسیار زیادی به بحث گذاشته شده است (زینکویچ و تیلور ۱۹۹۴، و هوینر و تورنن ۱۹۸۲). این روش بر اساس جایگزینی تمام محیط پیوسته مسئله با تعدادی زیرناحیه که در آنها تابع نامعلوم را می‌توان با دسته‌ای از تابع‌های درون‌یابی ساده با ضرایب نامعلوم تعریف کرد، استوار است. بنابراین مسئله مقدار مرزی اولیه را که حاوی تعداد نامحدودی درجه آزادی است به یک مسئله با تعداد معینی از درجه آزادی تبدیل می‌کنیم (جین، ۱۹۹۳). در حالت کلی تجزیه و تحلیل اجزای محدود یک مسئله مقداری مرزی دارای مراحل اصلی زیر است.

- ۱- فرمول‌بندی مسئله مقدار مرزی با استفاده از روش‌های اصول تغییرات (کوگون، ۱۹۷۱) و یا باقیمانده‌های وزنی (هومن، ۱۹۸۸).
- ۲- تبدیل دامنه مسئله به اجزای گسته و یا زیرناحیه‌های با تعداد معین (المان‌ها یا اجزا)

۳- انتخاب توابع پایه و یا درون‌یابی مناسب

۴- فرمول‌بندی دستگاه معادلات اجزای محدود

$$\left( \sigma_{i2} - \sigma_{i1} \right) n_x \frac{\bar{u}_{i1} - \bar{u}_{i2}}{\Delta l} n_z \right) \int_{x_{i1}, z_{i1}}^{x_{i2}, z_{i2}} K_0(k_y r') dl' \Big] \quad (17)$$

$$\bar{B}_z(x, k_y, z) = \frac{\mu_0}{2\pi} k_y$$

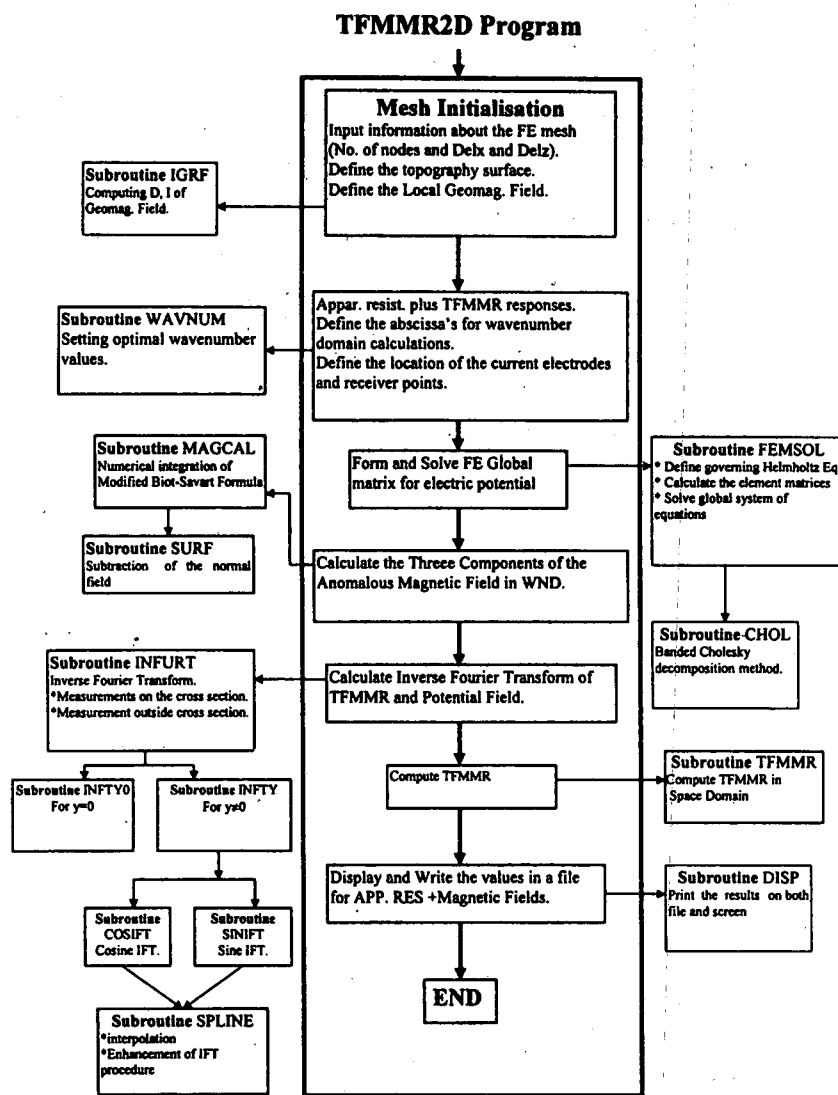
$$\sum_{i=1}^n \left[ (\sigma_{i2} - \sigma_{i1}) n_x \frac{\bar{u}_{i1} + \bar{u}_{i2}}{2} \int_{x_{i1}, z_{i1}}^{x_{i2}, z_{i2}} K_0(k_y r') dl' \right] \quad (18)$$

که در آن  $r' = \sqrt{(x-x_i)^2 + (z-z_i)^2}$  و  $(x_{i1}, z_{i1})$  مختصات نقاط ابتدایی و انتهایی قطعه  $\Delta l$  و  $n$  تعداد قطعات مرزی که محیط‌های با هدایت ویژه‌های متفاوت را از هم جدا می‌کنند.  $\sigma_{i1}$  و  $\sigma_{i2}$  هدایت‌های ویژه دو طرف قطعه مرزی

نام است،  $\frac{1}{2}(\Delta x_i^2 + \Delta z_i^2)^{\frac{1}{2}} = (dx_i^2 + dz_i^2)^{\frac{1}{2}}$  طول قطعه مرزی،  $\bar{U}_{i1}$  و  $\bar{U}_{i2}$  پتانسیل‌های الکتریکی تبدیل یافته در حوزه عدد موج در نقاط انتهایی قطعه  $x$  و  $z$  است. مؤلفه‌های گرادیان هدایت ویژه الکتریکی از راه مشتقات امتدادی آنها قابل محاسبه است.

#### ۹ انتخاب روش عددی مناسب برای محاسبات پاسخ‌های نظری TFMRR

در حالت کلی روش‌های عددی متداول از قبیل تفاضل محدود، اجزای محدود و معادله انتگرالی را که در حل معادلات دیفرانسیل با مشتقهای جزیی به کار می‌روند می‌توان به کار گرفت. اما از آنجایی که الگوریتم‌های روش اجزای محدود دارای انعطاف‌پذیری و قابلیت‌های بیشتری نسبت به سایر روش‌های عددی است و از طرف دیگر می‌توان با روش اجزای محدود مقدار پتانسیل را در تمام نقاط مرزی بین دو محیط که به شکل‌های متفاوتی ظاهر می‌شوند به طور مستقیم به دست آورد و همچنین اثر توپوگرافی را مدل نمود، روش اجزای محدود اولویت پیدا می‌کند. لذا برای حل عددی پاسخ‌های میدان مغناطیسی و درنهایت استخراج پارامتر TFMRR، روش اجزای



شکل ۳. الگوریتم مدلسازی عددی داده‌های TFMMR به روش اجزاء محدود.

طراحی شبکه اجزای محدود (مش) است که می‌تواند نشش مؤثری در دقت نتایج بدست آمده داشته باشد. اولین قدم در این خصوص انتخاب ناحیه‌ای به اندازه کافی بزرگ به نحوی است که مرزهای خارجی آن رفتار تحلیلی مقادیر پتانسیل الکتریکی را در مورد زمین همگن شبیه‌سازی نمایند. در مرحله دوم ابعاد شبکه المان‌ها در نزدیکی سطح مرزی بین محیط‌های متفاوت باید به اندازه کافی کوچک انتخاب شود تا بتوان تغییرات شدید را نیز با

۵- حل دستگاه معادلات برای مقادیر نامعلوم در این مقاله به دلیل سادگی روش باقیمانده‌های وزنی در فرمول‌بندی، از این روش بهمنظور محاسبه مقادیر تبدیل یافته پتانسیل الکتریکی استفاده شده است.

۱۲ تقسیم ناحیه به زیرناحیه‌ها  
بکی از مهم‌ترین جنبه‌های به کارگیری روش اجزای محدود

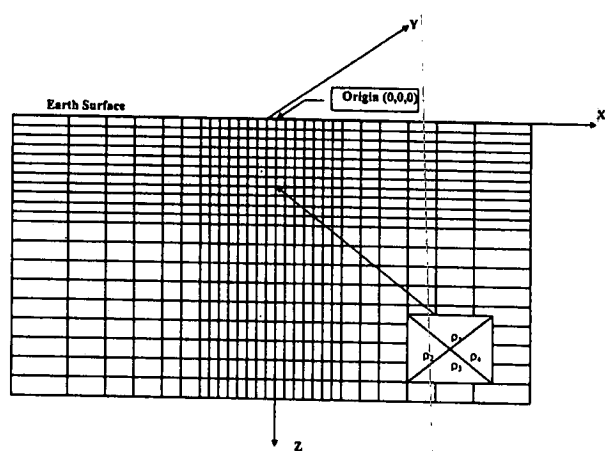
ناحیه در عمق های دور از ناهمگنی ها افزایش داد. با این حال بعد قائم نایستی بزرگتر از  $1/4$  عمق خود المان شود.

-۸- مرزهای جانبی و عمقی نیم فضا حداقل بایستی  $500$  برابر کوچک ترین بعد موجود در مسئله از مرکز شبکه اجزای محدود دور باشند تا شرایط مرزی به خوبی اعتبار داشته باشد.

### ۱۳ محاسبه معادلات ماتریسی المان ها و حل دستگاه معادلات ماتریس کل

یکی از مراحل مهم در به کارگیری روش اجزای محدود، ایجاد و ترکیب معادلات ماتریسی المان ها در یک معادله ماتریسی مجزا و در اینجا به صورت  $S \bar{U} = G \bar{U}$  است که در آن  $G$  ماتریس با باند قطری معین و متقارن  $M \times M$  و  $\bar{U}$  بردار مقادیر پتانسیل تبدیل یافته در شبکه اجزای محدود است. ماتریس کلی از راه قرار دادن المان های ماتریسی در محل های مناسب با توجه به شماره گذاری کلی المان ها تشکیل می شود. الگوریتم های عددی متفاوتی برای حل دستگاه معادلات خطی همانند معادلات ماتریسی روش اجزای محدود وجود دارد (گلوب و ونلون، ۱۹۸۸). اما چون ماتریس نهایی متقارن و با نوار قطری محدود است، آنگاه روش های با پهنای عددی محدود همانند روش های حذفی گوس برای ماتریس های نواری و یا روش چولسکی می توانند از نقطه نظر محاسباتی و دقت مؤثر باشند و چون روش چولسکی حساسیت بسیار کمی به خطاهای گرد کردن دارد، لذا این روش به عنوان بهترین روش حل معادلات به کار گرفته شد.

### ۱۴ محاسبه عددی مؤلفه های میدان مغناطیسی معادلات ۱۶ تا ۱۸ عبارات مورد نیاز برای محاسبه عددی مؤلفه های میدان مغناطیسی را دربر می گیرند. در ارزیابی روابط ۱۶ تا ۱۸ برای مؤلفه های میدان مغناطیسی نقاط تکینگی به خصوص در ارزیابی توابع اصلاح شده بسل زمانی که $z'$ به صفر می کند رخ می دهد. این تکینگی حقیقی نیست و یکی از روش های حذف این تکینگی با حفظ دقت تخمین های انجام



شکل ۴. نمایی از یک شبکه اجزاء محدود تبیک جهت مدل سازی عددی داده های TFMMR.

دقت کافی تعیین نمود و درنهایت بخش مرکزی شبکه که حاوی تمامی ناهمگنی هاست نسبت به مرزهای دور، از شبکه ریزتری برخوردار است (شکل ۴). معیارهای زیر برای طراحی شبکه اجزای محدود پس از آزمایشات متعدد مناسب تشخیص داده شدند.

- ۱- ابعاد افقی و قائم المان ها نباید از  $1/4$  کوچک ترین طول موجود در مسئله بزرگتر باشد.
- ۲- ابعاد مساوی المان ها در دو طرف نایپوستگی های زیرزمینی، منجر به دقت بیشتر نتایج می شود.
- ۳- ابعاد المان ها نباید بزرگتر از دو برابر المان های مجاور خود باشد.
- ۴- درجه ریزیالتشی نایپوستگی ها را می توان به عنوان تابعی از فاصله آنها از الکتروود جریان کاهش داد.
- ۵- ابعاد المان را می توان به صورت تابعی از شبکه های توپوگرافی کاهش داد و برای شبکه های حدود  $45^{\circ}$  درجه  $1/8$  برابر کوچک ترین طول مسئله مناسب است.
- ۶- هر منطقه با هدایت ویژه متفاوت باید حداقل ۴ المان پهنا و ۳ المان ضخامت داشته باشد.
- ۷- بعد قائم المان را می توان به طور نمایی تا رسیدن به مرزهای

$$B_x(x, y, z) = \frac{1}{\pi} \int_0^{+\infty} \bar{B}_x(x, k_y, z) \sin(k_y y) dk_y \quad (19)$$

$$B_y(x, y, z) = \frac{1}{\pi} \int_0^{+\infty} \bar{B}_y(x, k_y, z) \cos(k_y y) dk_y \quad (20)$$

$$B_z(x, y, z) = \frac{1}{\pi} \int_0^{+\infty} \bar{B}_z(x, k_y, z) \sin(k_y y) dk_y \quad (21)$$

$$U(x, y, z) = \frac{1}{\pi} \int_0^{+\infty} \bar{u}(x, k_y, z) \cos(k_y y) dk_y \quad (22)$$

در ارزیابی انتگرال‌های فوق دو مشکل در حالت  $y \neq 0$

وجود دارد. اول آنکه پتانسیل تبدیل یافته و مؤلفه  $y$  میدان

مغناطیسی دارای یک تکینگی در محل الکترود جریان (یعنی

جایی که  $x_s = x$  و  $z_s = z$ ) است و دوم میدان‌های تبدیل یافته

در جایی که  $K_y$  به سمت صفر میل می‌کند رفتار لگاریتمی از

خود نشان می‌دهند. در مورد اول می‌توان طیف میدان را در فاصله

بسیار کوچک‌تر از محل الکترود به جای خود الکترود (یعنی

$x = x_s + \varepsilon$ ) ارزیابی نمود که در اینجا  $\varepsilon$  را اغلب کوچک‌تر از

$\frac{y_{min}}{20}$  انتخاب می‌کنیم. یک چنین پروسه‌ای دارای خطای

حداکثر  $0/4$  درصد برای مدل نیم‌فضای همگن است. برای حل

تکینگی بوجود آمده در طیف میدان‌های تبدیل یافته اقدام به

جداسازی بخش حاوی تکینگی و بخش منظم و سپس

انتگرال‌گیری روی هر بخش به طور تحلیلی شد. پس از اجرای

برنامه به دفعات بسیار مشخص شد که این فن یکی از دقیق‌ترین و

پرسرعت‌ترین روش‌های ارزیابی پاسخ‌های TFMRR است.

همان‌طور که در رفتار مؤلفه‌های  $B_x$  و  $B_y$  مشاهده می‌شود،

هیچ‌گونه تکینگی در محل مبدأ محور عدد موج وجود ندارد،

$\lim_{k_y \rightarrow 0} k_y K_0(k_y r) = 0$  است، بدان معنا که طیف این

به طوری که پتانسیل مؤلفه  $DC$  نیست. برای برطرف کردن تکینگی

مؤلفه  $B_y$  و پتانسیل الکتریکی  $U$  انتگرال فوریه معکوس به دو

بخش حاوی نقطه تکینگی و بخش منظم به صورت زیر تبدیل

می‌شود.

$$B_y(x, y, z) = \frac{1}{\pi} \left[ \int_0^{k_1} \bar{B}_y(x, k_y, z) \cos(k_y y) dk_y + \right.$$

شده را در اینجا ارائه می‌دهیم. حذف تکینگی تابع  $K_0$  تابع بسل اصلاح شده از مرتبه صفر در نزدیکی مبدأ رفتار لگاریتمی از خود نشان می‌دهد. اما واضح است که میدان مغناطیسی در نقطه اندازه‌گیری معین است و این حقیقت را که تکینگی نه حقیقی بلکه کاذب است می‌توان از راه تقسیم خط مرزی به قطعات بسیار کوچک (dl) به طوری که  $\lim_{dl \rightarrow 0}$  به صفر میل کند نشان داد. آنگاه حد عبارت حاوی تابع بسل اصلاح شده در نقطه مبدأ خود به‌سمت صفر میل می‌کند یعنی

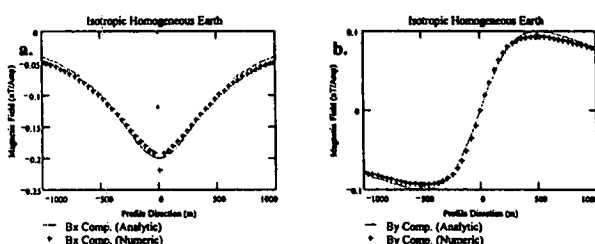
$$\lim_{r \rightarrow 0} K_0(k_y r) dl = -\ln(k_y r) dl \rightarrow 0$$

$$dl \rightarrow 0$$

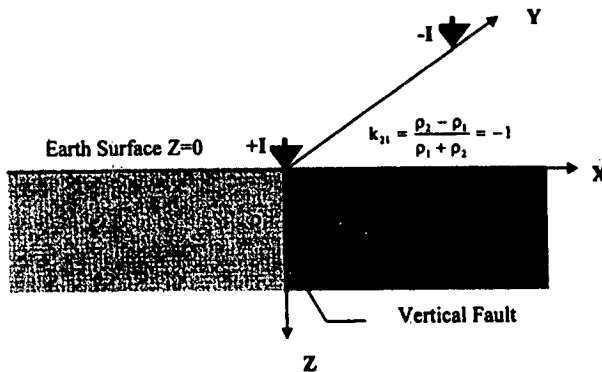
لذا کافی است که در ارزیابی انتگرال‌های حاوی تابع بسل اصلاح شده از یک روش انتگرال‌گیری که در آن نقطه انتهایی قطعه ارزیابی نشود، استفاده کرد. بدین منظور روش انتگرال‌گیری گوسی 7 نقطه‌ای به منظور تخمین انتگرال تابع بسل روی قطعات مرزی به کار گرفته شد. با مقایسه نتایج تحلیلی (فرم بسته) و نتایج عددی مشاهده شد که خطای این محاسبات از  $0/1$  درصد هم کمتر است.

## ۱۵ تبدیل فوریه معکوس عددی

پس از آنکه مؤلفه‌های میدان مغناطیسی تبدیل یافته از راه پتانسیل الکتریکی برای تعداد محدودی عدد موج محاسبه شد، لازم است مؤلفه‌های میدان در حوزه مکانی از راه یک الگوریتم عددی تبدیل فوریه معکوس زیر (معادلات ۱۹ الی ۲۲) محاسبه شوند. برخلاف روش‌های مقاومت‌سنجی DC که در آن الکترودهای TFMRR پتانسیل و جریان در یک خط است، اندازه‌گیری‌هایی خارج از مقطع مدل صورت می‌گیرد. لذا رفتار تابع زیر انتگرال تبدیل فوریه معکوس به صورت نوسانی در می‌آید و نیاز به ارزیابی خاص دارد. به راحتی می‌توان نشان داد که مراحل تبدیل فوریه معکوس برای مؤلفه‌های متفاوت میدان مغناطیسی و پتانسیل الکتریکی به صورت زیر است.



شکل ۵. مقایسه نتایج عددی و تحلیلی مؤلفه های  $x$  و  $y$  میدان مغناطیسی مربوط به یک زمین همگن برای بروفیل A-A' از شکل ۱.



شکل ۶. هندسه مدل به کار گرفته شده، جهت محاسبه پاسخ مدل گسل قائم.

اجزای محدود مشکل از  $30 \times 40$  المان مستطیلی در امتدادهای  $x$  و  $z$  بوده است. همان طور که از این شکل ها ملاحظه می شود، نتایج عددی برای مؤلفه های  $x$  و  $y$  تطابق بسیار خوبی با نتایج تحلیلی از خود نشان می دهند. میانگین خطای محاسبه شده برای مؤلفه  $B_x$  برابر  $3/8$  درصد و برای  $B_y$   $4/3$  درصد برآورد شده اند.

### ۱۸ مدل گسل قائم

هندسه مدل به کار گرفته شده در شکل ۶ نشان داده شده است. شکل ۷ نمایانگر مقایسه نتایج عددی و تحلیلی هر سه مؤلفه  $x$ ،  $y$  و  $z$  به علاوه پاسخ TFMRR برای مدل گسل قائم است. ضریب انعکاس دو محیط برای این مدل  $82\% ( \rho_2 / \rho_1 = 10 )$  در نظر گرفته شده است. الکترود جریان روی اثر گسل در روی سطح زمین و مقطع عمود بر سطح گسل طراحی شده است. در اینجا از دو شبکه اجزای محدود مستطیلی که هر مستطیل آن

$$\int_{k_1}^{\infty} \bar{B}_Y(x, k_y, z) \cos(k_y y) dk_y \quad (23)$$

که در آن  $K_1$  مینیمم مقدار  $K_y$  ( $K_{y_{min}}$ ) که برای آن طیف مؤلفه  $B_y$  محاسبه شده است خواهد بود. پس از یک سلسله عملیات، معادله فوق به صورت زیر درمی آید (کونرالت و همکاران ۱۹۹۱، فتحیان پور ۱۹۹۷).

$$B_Y(x, y, z) = \frac{2}{\pi} \frac{B_0}{y} \left[ \ln(b_0 k_y) \sin(k_y y) - \text{SI}(k_y y) \right] + \frac{2}{\pi} \sum_i \left[ \frac{A_i \cos(k_y y)}{y^2} + B_Y(x, k_y, z) \frac{\sin(k_y y)}{y^2} \right]_{k_1}^{k_{i+1}} \quad (24)$$

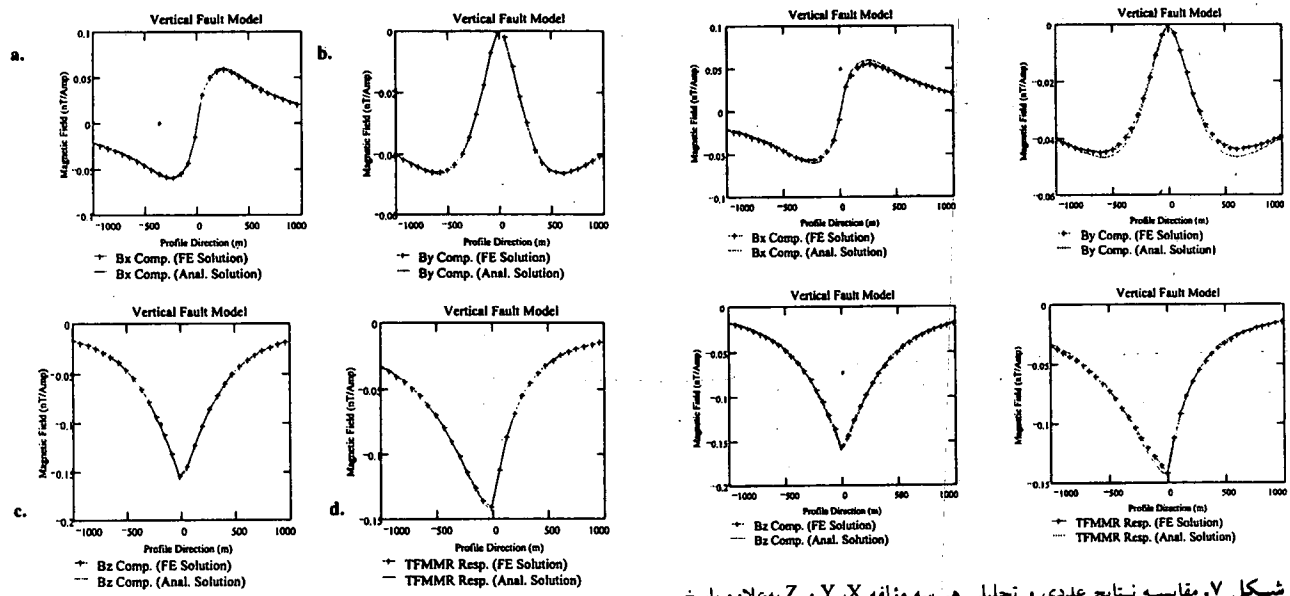
واضح است که نتیجه مشابهی را می توان برای تبدیل فوریه معکوس پتانسیل الکتریکی نیز بدست آورد.

### ۱۶ بررسی اعتبار و دقت روش ارائه شده

در اینجا نتایج عددی برای مؤلفه های متفاوت میدان مغناطیسی در زمین همگن و مدل گسل قائم که در مقاله ای توسط یکی از نگارندهای (فتحیان پور و کچی، ۱۹۹۵) و همچنین توسط باگز و همکاران، ۱۹۹۹ به طور تحلیلی محاسبه شده بود، برای بررسی اعتبار و دقت نتایج، مورد مقایسه قرار می گیرند. لازم به تذکر است که توزیع خطای در محاسبات TFMRR به صورت تابعی از تخمین های انجام شده در هر سه مؤلفه میدان مغناطیسی است که سهم آنها با توجه به میدان ژئومغناطیسی زمین تعیین می شود. نتایجی که در اینجا ارائه شده است برای انحراف افقی  $45$  درجه و زاویه میل  $60$  درجه از میدان ژئومغناطیس زمین ارائه شود.

### ۱۷ زمین همسانگرد

شکل ۵ نمایش مقایسه نتایج عددی و تحلیلی برای مؤلفه های  $x$  و  $y$  میدان مغناطیسی مربوط به یک زمین همگن است. نتایج برای بروفیل AA' از شکل ۱ با به کار گیری تنها یک الکترود جریان در مبدأ آورده شده است. تعداد ۱۲ عدد موج برای تخمین طیف مؤلفه های میدان ادر حوزه عدد موج به کار گرفته شده اند. شبکه



شکل ۸. نتایج عددی پاسخ مؤلفه‌های مختلف میدان مغناطیسی برای مدل گسل قائم با شبکه اجزاء محدود  $82 \times 35$  و به کارگیری ۴۰ مقدار عدد موج.

### ۱۹ نتیجه‌گیری

با توجه به جدید بودن پارامتر مقاومت‌ستجی، میدان کل (TFMRR) توسعه یک الگوریتم عددی به منظور محاسبه پاسخ آنومالی‌های توده مختلف زیرسطحی ضروری به نظر می‌رسد. برای دستیابی به معادلات حاکم بر رفتار میدان مغناطیسی از یک جفت تبدیل فوریه مستقیم و معکوس برای حذف مؤلفه لا میدان در امتداد ساختمان‌های زمین‌شناسی دو بعدی، استفاده شده است. الگوریتم ارائه شده در این مقاله با به کارگیری روش اجزای محدود با دقت به نسبت خوبی قادر است از عهده محاسبه پاسخ مدل‌های دو بعدی زمین برآید. مسائل و مشکلاتی که در ارتباط با افزایش دقت در محاسبات عددی و حذف تکینگی در یک چنین محاسباتی ضرورت دارد، ارائه شده است. از نکات مهم حذف تکینگی در جمله مربوط به منبع ایجاد میدان، تکینگی در تبدیل فوریه معکوس و همچنین تکینگی کاذب در محاسبه آنومالی مؤلفه‌های متفاوت میدان مغناطیسی مورد بحث قرار گرفته و راه حل‌های مناسب در هر مورد ارائه شده است. اهمیت انتخاب

شکل ۷. مقایسه نتایج عددی و تحلیلی هر سه مؤلفه X، Y و Z بعد از پاسخ TFMRR برای مدل گسل قائم.

حاوی ۴ المان مثلثی است به ترتیب شامل  $82 \times 35$ ،  $40 \times 30$  و  $40 \times 25$  است. برای مؤلفه  $B_x$  میانگین خطای نسبی حدود ۷٪ برآورد شده است. ملاحظه می‌شود که خطای ماکریوم چنین مدلی با به کارگیری ۱۲ عدد موج و شبکه اجزای محدود درشت  $40 \times 30$  به دست آمده است که می‌توان دقت محاسبات را با ریزکردن شبکه اجزای محدود افزایش داد. به طور مثال برای همان مدل گسل قائم یک شبکه اجزای محدود  $82 \times 35$  گره‌ای با به کارگیری یک مجموعه ۴۰ مقداری عدد موج بررسی قرار گرفته و نتایج در شکل ۸ آورده شده است. همان‌طور که از شکل‌های ۷ و ۸ مشاهده می‌شود اندازه‌گیری میدان مغناطیسی کل به دلیل نبود نیاز به توجیه و تراز کردن مگنتومتر در هر اندازه‌گیری صحرایی، امکان اندازه‌گیری پیوسته و تأثیرپذیری از کلیه مؤلفه‌ها و بهویژه مؤلفه قائم و در نتیجه قدرت سیگنال قوی‌تر از تک مؤلفه‌ها (به طور مثال حدود سه برابر مؤلفه‌های X و Y در شکل ۸)، نسبت به روش تک مؤلفه‌ای MMR که در آن فقط مؤلفه X اندازه‌گیری می‌شود، دارای برتری است.

- Fathianpour, N., 1997, Analytical and Numerical Modelling of Total Field MagnetoMetric Resistivity (TFMMR) Data., PhD Thesis, Flinders University of South Australia, Australia. 315 pp.
- Fathianpour, N. and Cattach, M. K., 1995, Analytical Solutions for the Total Field Managetometric Resistivity (TFMMR) Thechnique. *Exploration Geophysics*, **26**, 158-166.
- Glob, G. H. and van Loan. C. F., 1988, Matrix computations. The Johns Hopkins University Press.
- Hohmann, G. W., 1988, Numerical modelling for electromagnetic methods of geophysics. In: *Electromagnetic Methods in Applied Geophysics - Theory*, Volume 1, SEG Publication.
- Huebner, K. H. and Thornton, E. A., 1982, The finite element method for engineers. Second Edition, John Wiley & Sons Inc.
- Jin, J., 1993, The finite element method in electromagnetics. John Wiley & Sons Inc.
- Nabighian, M. N., Oppliger, G. L., Edwards, R. N., Lo, B. B. H. and Cheesman, S. J., 1984, Cross-hole magnetometric resistivity (MMR). *Geophysics*, **49**, 1313-1326.
- Queralt, P., Pous, J. and Marcuello, A., 1991, 2-D resistivity modelling: An approach to arrays parallel to the strike direction. *Geophysics*, **56**, 941-950.
- Snyder, D. D., 1976, A method for modelling the resistivity and IP response of two-dimensional bodies. *Geophysics*, **41**, 997-1015.
- Zhdanov, M. S. and Keller, G. V., 1994, *The Geoelectrical Methods in Geophysical Exploration*. Elsevier. Amsterdam, The Netherlands.
- Zienkiewicz, O. C. and Taylor, R. L. 1994, *The Finite Element Method: basic Formulation and Linear Problems*. Forth Edition. McGraw Hill Book Co., New York.

تعداد بهینه اعداد موج مورد نیاز و معیارهای طراحی شبکه اجزای محدود به خوبی مورد بحث قرار گرفته و نحوه تعیین آنها ارائه شده است.

#### منابع

- Abramowitz, M. & Stegun, I. A., 1972, *Handbook of mathematical functions with formulas, graphs and mathematical tables*. U.S. Gov. printing office, Washington, DC.
- Boggs, D. B., Stanley, J. M. and Cattach, M. K., 1999, Three-dimensional numerical modelling of sub-audio magnetic data: *Expl. Geophys.*, Austr. Soc. Expl. Geophys., **30**, 147-156.
- Bracewell, R. N., 1986, *The Fourier Transform and Its Applications*. McGraw-Hill, Inc. New York.
- Cattach, M. K., Stanley, J. M., Lee, S. J. and Boyd, G. W., 1994, Sub-Audio Magnetics (SAM)-A high resolution technique for simultaneously electrical and magnetic properties. *Exploration Geophysics*, **24**, 287-400.
- Cheng, D. K., 1989, *Field and Wave Electromagnetics*. World Student Series Edition. Addison – Wesley Pub. Co., Inc., USA.
- Coggon, J. H., 1971, Electronic and electrical modelling by the finite element method. *Geophysics*, **36**, 132-155.
- Dey, A. and Morrison, H. F., 1979, Resistivity modelling for arbitrarily shaped two-dimensional structures. *Geophysical Prospecting*, **27**, 106-136.
- Edwards, R. N., 1974, The magnetometric resistivity method and its application to the mapping of a fault. *Can. J. Earth Sci.*, **11**, 1136-1156.
- Edwards, R. N., Lee, H. and Nabighian, M. N., 1978, On the theory of managmetric resistivity (MMR) method. *Geophysics*, **43**, 1176-1203.